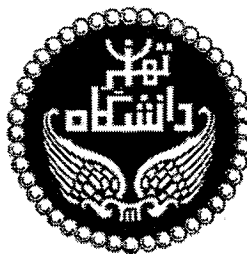
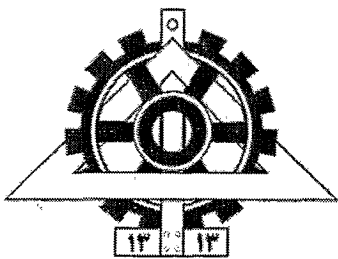




٤٧١٩٦



دانشگاه تهران
پردیس دانشکده های فنی
دانشکده مهندسی متوالورژی و مواد

عنوان:

سنتر نانوذرات مواد مغناطیسی دائمی سرامیکی به روش هم رسوی
در محیط های غیر آبی و بررسی تأثیر نوع محیط رسبو دهی بر
مشخصات محصولات

نگارش:

مهدی منتظری پور

استاد راهنمای:

دکتر ابوالقاسم عطائی



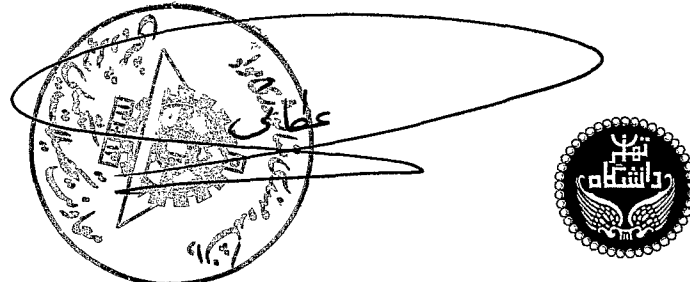
استاد مشاور:

دکتر سعید حشمتی منش

پایان نامه برای دریافت درجه کارشناسی ارشد
در رشته مهندسی مواد - شناسایی و انتخاب مواد مهندسی

آسفند ۸۶

۳۰۴-۷۷۴



به نام خدا
دانشگاه تهران
پردیس دانشکده‌های فنی
دانشکده مهندسی متالورژی و مواد

گواهی دفاع از پایان‌نامه کارشناسی ارشد

هیأت محترم داوران پایان‌نامه کارشناسی ارشد آقای مهدی متظری پور به شماره دانشجویی ۸۱۰۷۸۴۰۱۷ در رشتۀ مهندسی مواد گرایش شناسایی و انتخاب مواد مهندسی را در تاریخ ۸۶/۱۲/۸ با عنوان ستر
نانوذرات مواد مغناطیسی دائمی سرامیکی به روشن هم رسوبی در محیط‌های غیر آبی و بررسی تأثیر نوع محیط
رسوب دهی بر مشخصات محصولات

به عدد به حروف

سبت کام
با نمره نهایی: ۱۰۰

در درجه عالی
ارزیابی نمود.

ردیف	مشخصات هیأت داوران	نام و نام خانوادگی	مرتبه دانشگاهی	دانشگاه یا موسسه	امضاء
۱	استاد راهنمایی	دکتر ابوالقاسم عطائی	دانشیار	دانشگاه تهران	عطائی
۲	استاد مشاور	دکتر سعید حشمتی منش	دانشیار	دانشگاه تهران	JF
۳	استاد مدعو خارجی	دکتر علی بیت الله	استاد	دانشگاه علم و صنعت ایران	علی
۴	استاد مدعو داخلی	دکتر فرشته رشچی	استادیار	دانشگاه تهران	رشچی
۵	نماینده کمیته تحصیلات تکمیلی دانشکده مهندسی مواد	دکتر فرشته رشچی	استادیار	دانشگاه تهران	رشچی

چکیده

در این تحقیق نانوذرات هگزافریت باریم در دماهای نسبتاً پایین به وسیله روش هم رسوی با استفاده از محلول های مخلوط الکل-آب با نسبت حجمی ۱:۳ تهیه شدند. از اتانول، ایزوپروپانول و دی اتیلن گلیکول به عنوان حلال های الکلی در محیط هم رسوی استفاده گردید و خواص محصولات با خواص بدست آمده از فرآیند متداول هم رسوی در محیط آبی مقایسه گردید. ترکیب فازی و آنالیز باندهای شیمیایی پیش سازه های حاصل از هم رسوی به ترتیب به وسیله روش های XRD و FTIR مورد مطالعه قرار گرفت و نتایج نشان داد که محلول های الکلی استفاده شده با کاهش حل کردن CO_2 هوا و همچنین با کاهش اندازه کریستالیت ها و ذرات در محیط هم رسوی مقدار فاز آمورف را در پیش سازه های حاصل از هم رسوی افزایش می دهند. آنالیز حرارتی پیش سازه ها به وسیله DTA/TGA مورد ارزیابی قرار گرفت و نتایج نشان داد که پیش سازه های حاصل از هم رسوی در محیط های غیر آبی به دلیل داشتن واکنش پذیری بالا قادر به تشکیل هگزافریت باریم در دماهای نسبتاً پایین می باشند. نتایج آنالیز حرارتی به وسیله کلسینه کردن پیش سازه ها و سپس شناسایی ترکیب فازی آنها به وسیله XRD تأیید گردید و دیده شد که تک فاز هگزافریت باریم در دمای نسبتاً پایین 600°C به وسیله استفاده از ایزوپروپانول در محیط هم رسوی بدست می آید. مورفولوژی و ریزساختار ذرات به وسیله روش های SEM و TEM مطالعه گردید و مشاهده شد که به دلیل تشکیل هگزافریت باریم در دماهای پایین از رشد ذرات آن ممانعت به عمل آمده و نانوذراتی با اندازه بسیار کوچک به وسیله این روش قابل دستیابی هستند.

تقدیر و تشکر

پروردگار قادر و متعال را که بر این بنده توفیق تحصیل علم مرحمت فرمود، شاکر هستم. در ابتدا بر خود لازم می دانم که از زحمات بی دریغ استاد ارجمند و گرانقدر جناب آقای دکتر ابوالقاسم عطائی که در طی انجام این پژوهش بنده را با رهنماهای ارزشمند خود یاری نمودند، صمیمانه تشکر و قدردانی نمایم. همچنین از آقای دکتر سعید حشمتی منش که مسئولیت مشاوره این تحقیق را بر عهده داشته اند و نیز از اساتید گرانقدر آقای دکتر علی بیت اللهی و خانم دکتر فرشته رشچی به جهت تقبل بازخوانی این پایان نامه کمال تشکر را دارم.



تعهد نامه اصالت اثر

اینجانب مهدی متظری پور تأیید می‌کنم که مطالب مندرج در این پایان نامه حاصل کار پژوهشی اینجانب است و به دستاوردهای پژوهشی دیگران که در این نوشه از آنها استفاده شده است، مطابق مقررات ارجاع گردیده است. این پایان نامه قبلًا برای احراز هیچ مدرک هم سطح یا بالاتر ارائه نشده است.

کلیه حقوق مادی و معنوی این اثر متعلق به دانشکده فنی دانشگاه تهران می‌باشد.

نام و نام خانوادگی دانشجو: مهدی متظری پور

امضاء دانشجو:

فهرست مطالب

صفحه	عنوان
۱	فصل اول: مقدمه
۴	فصل دوم: مروری بر منابع
۵	۱-۱-۲- مقدمه ای بر مغناطیسی
۵	۱-۱-۱- مروری بر مفاهیم و پارامترهای مغناطیسی
۷	۱-۱-۲- انواع رفتارهای مغناطیسی در مواد
۸	۱-۱-۳- نانوذرات مغناطیسی
۱۲	۱-۲-۴- سرامیک های مغناطیسی
۱۲	۱-۲-۴-۱- فریت های مکعبی
۱۲	۱-۲-۴-۲- فریت های هگزاگونال
۱۴	۱-۲-۴-۳- گارنت ها
۱۵	۲-۲- روش های سنتز پودر هگزاافریت باریم
۱۵	۲-۲-۱- روش مرسوم
۱۶	۲-۲-۲- روش های غیر مرسوم
۱۷	۲-۲-۲-۱- روش هم رسوی
۲۷	۲-۲-۲-۲- سایر روش ها
۳۴	۲-۳- خواص و کاربرد الكل ها در سنتز مواد
۴۷	۲-۳-۱- تأثیر محیط هم رسوی بر روی سینتیک تشکیل ذرات
۵۴	فصل سوم: روش تحقیق
۵۵	۳-۱- مواد اولیه مورد استفاده
۵۶	۳-۲- سنتز پودر هگزاافریت باریم به روش هم رسوی
۵۸	۳-۳- تجهیزات مورد استفاده برای ارزیابی خواص
۵۸	۳-۳-۱- طیف سنجی تبدیل فوریه مادون قرمز (FTIR)
۵۹	۳-۳-۲- پراش اشعه ایکس (XRD)
۵۹	۳-۳-۳- آنالیز جرارتی (DTA/TGA)
۶۰	۳-۴-۳- میکروسکوپ الکترونی رویشی (SEM)
۶۰	۳-۵- میکروسکوپ الکترونی عبوری (TEM)

فصل چهارم: نتایج و بحث

- ۶۱-۴- مشخصات پیش سازه های حاصل شده از محیط های مختلف هم رسوی
- ۶۲-۱-۱-۱- الگوهای پراش اشعه ایکس پیش سازه های حاصل از هم رسوی
- ۶۲-۱-۲- طیف های مادون قرمز پیش سازه های حاصل از هم رسوی
- ۶۶-۲-۱-۴- نمونه های سنتز شده در محیط آبی
- ۷۳-۲-۲-۴- آنالیز حرارتی
- ۷۵-۲-۲-۴- مطالعات پراش اشعه ایکس بعد از کلسینه کردن
- ۸۰-۲-۳-۴- بررسی اندازه کریستالیت ها و مورفوژوئی ذرات در نمونه های کلسینه شده
- ۸۴-۳-۴- نمونه های سنتز شده با استفاده از اتانول
- ۸۴-۳-۴- آنالیز حرارتی
- ۸۵-۲-۳-۴- مطالعات پراش اشعه ایکس بعد از کلسینه کردن
- ۹۰-۳-۴- بررسی اندازه کریستالیت ها و مورفوژوئی ذرات در نمونه های کلسینه شده
- ۹۴-۴- نمونه های سنتز شده با استفاده از ایزوپروپانول
- ۹۴-۴- آنالیز حرارتی
- ۹۵-۲-۴-۴- مطالعات پراش اشعه ایکس بعد از کلسینه کردن
- ۹۹-۳-۴-۴- بررسی اندازه کریستالیت ها و مورفوژوئی ذرات در نمونه های کلسینه شده
- ۱۰۴-۴- نمونه های سنتز شده با استفاده از دی اتیلن گلیکول با نسبت مولی Fe/Ba برابر ۱۱
- ۱۰۴-۴- آنالیز حرارتی
- ۱۰۵-۲-۵-۴- مطالعات پراش اشعه ایکس بعد از کلسینه کردن
- ۱۰۹-۳-۵-۴- بررسی اندازه کریستالیت ها و مورفوژوئی ذرات در نمونه های کلسینه شده
- ۱۱۱-۴-۶-۴- نمونه های سنتز شده با استفاده از دی اتیلن گلیکول با نسبت مولی Fe/Ba برابر ۱۲
- ۱۱۱-۴- آنالیز حرارتی
- ۱۱۳-۲-۶-۴- مطالعات پراش اشعه ایکس بعد از کلسینه کردن
- ۱۱۸-۳-۶-۴- بررسی اندازه کریستالیت ها و مورفوژوئی ذرات در نمونه های کلسینه شده
- ۱۲۵-۷-۴- مقایسه بین نمونه های سنتز شده در محیط های مختلف هم رسوی

فصل پنجم: نتیجه گیری و پیشنهادها

- ۱۳۲-۱-۵- نتیجه گیری
- ۱۳۳-۲-۵- پیشنهادات
- ۱۳۵- منابع

فهرست جداول ها

عنوان	صفحه
جدول ۱-۲ خواص فیزیکی-شیمیایی آب و برخی از الکل ها.	۳۷
جدول ۱-۳ مشخصات فیزیکی و شیمیایی مواد اولیه مورد استفاده در این تحقیق.	۵۵
جدول ۲-۳ مشخصات فیزیکی و شیمیایی الکل های مورد استفاده در این تحقیق.	۵۶
جدول ۳-۳ کدبندی نمونه های سنتز شده در این تحقیق.	۵۸
جدول ۴-۳ علائم اختصاری استفاده شده برای فازها.	۵۹
جدول ۱-۴ اندازه کریستالیت های کربنات باریم موجود در پیش سازه های مختلف.	۶۴
جدول ۲-۴ اندازه کریستالیت های پودر W کلسینه شده در دماهای مختلف.	۸۰
جدول ۳-۴ اندازه کریستالیت های پودر EtOH کلسینه شده در دماهای مختلف.	۹۱
جدول ۴-۴ اندازه کریستالیت های پودر PrOH کلسینه شده در دماهای مختلف.	۹۹
جدول ۵-۴ اندازه کریستالیت های پودر نمونه DEG11 در دماهای کلسیناسیون مختلف.	۱۰۹
جدول ۶-۴ اندازه کریستالیت های پودر نمونه DEG12 در دماهای کلسیناسیون مختلف.	۱۱۸

فهرست شکل ها

صفحه

عنوان

- ۷ شکل ۱-۲ حلقه پسماند مغناطیسی مواد مغناطیسی.
- ۹ شکل ۲-۲ شماتیکی از شکل حوزه های مغناطیسی برای ذرات مغناطیسی (الف) چند حوزه ای و (ب) تک حوزه ای.
- ۱۰ شکل ۳-۲ نیروی وادارنده مغناطیسی به صورت تابعی از اندازه ذره.
- ۱۱ شکل ۴-۲ چاه پتانسیل دوگانه به عنوان مدلی برای پدیده سوپریارامغناطیس.
- ۱۳ شکل ۵-۲ ساختار کربستالی هگزافریت باریم.
- ۳۵ شکل ۶-۲ ساختار مولکولی برخی از انواع الکل ها : (الف) متانول، (ب) اتانول، (ج) ایزوپروپانول، (د) اتیلن گلیکول و (ه) دی اتیلن گلیکول.
- ۴۴ شکل ۷-۲ وضعیت پیوندهای هیدروژنی در بین ذرات هیدروکسید مجاور فرضی در محیط های (الف) آب و (ب) اتانول؛ خطوط خطر چین اشاره به پیوندهای هیدروژنی دارد.
- ۵۱ شکل ۸-۲ تغییر انرژی آزاد تشکیل جوانه به صورت تابعی از تعداد مول های پیش سازه جمع شده در آن. منحنی a برای محلولی است که در حالت فوق اشباع قرار ندارد ($S_a < 1$)؛ منحنی های b و c برای محلول های فوق اشباع هستند ($S_b > 1$ و $S_c > S_b$).
- ۶۳ شکل ۹-۱ الگوهای پراش اشعه ایکس پیش سازه های حاصل از هم رسوی: (a) W ، (b) DEG12 و (c) DEG11 ، (d) PrOH و (e) EtOH.
- ۶۷ شکل ۱۰-۴ طیف های مادون قرمز پیش سازه های حاصل از هم رسوی: (a) W ، (b) EtOH و (c) PrOH.

۷۰ شکل ۴-۳ طیف های مادون قرمز پیش سازه های حاصل از هم رسوی: (a) DEG11 و
.DEG12 (b)

۷۴ شکل ۴-۴ نمودارهای آنالیز حرارتی (DTA/TGA) مربوط به پیش سازه W.
۷۶ شکل ۴-۵ الگوهای پراش اشعه ایکس نمونه W کلسینه شده در دماهای ۷۵۰، ۸۰۰، ۸۵۰، ۹۰۰ و ۹۰۰
به مدت ۱ ساعت.

۷۸ شکل ۴-۶ الگوهای پراش اشعه ایکس نمونه W کلسینه شده در دماهای ۴۰۰، ۶۰۰ و ۷۰۰°C به
مدت ۱ ساعت.

۸۲ شکل ۷-۴ تصاویر میکروسکوپ الکترونی رویشی نمونه W کلسینه شده در دماهای:
(الف) ۷۵۰°C، (ب) ۸۰۰°C، (ج) ۸۵۰°C و (د) ۹۰۰°C به مدت ۱ ساعت.

۸۳ شکل ۸-۴ تصاویر میکروسکوپ الکترونی رویشی نمونه W کلسینه شده در دماهای:
(الف) ۹۵۰°C و (ب) ۱۰۰۰°C به مدت ۱ ساعت.

۸۴ شکل ۹-۴ نمودار تغییرات اندازه متوسط ذرات هگزافریت باریم بر حسب دمای کلسیناسیون برای
نمونه W.

۸۶ شکل ۱۰-۴ نمودارهای آنالیز حرارتی (DTA/TGA) مربوط به پیش سازه EtOH.

۸۸ شکل ۱۱-۴ الگوهای پراش اشعه ایکس نمونه EtOH کلسینه شده در دماهای ۶۵۰، ۷۰۰، ۸۰۰ و ۹۰۰
و ۱۰۰۰°C به مدت ۱ ساعت.

۹۰ شکل ۱۲-۴ الگوهای پراش اشعه ایکس نمونه EtOH کلسینه شده در دماهای ۴۰۰، ۵۰۰ و ۶۰۰°C
به مدت ۱ ساعت.

۹۲ شکل ۱۳-۴ تصاویر میکروسکوپ الکترونی رویشی نمونه EtOH کلسینه شده در دماهای:
(الف) ۶۵۰°C، (ب) ۷۰۰°C، (ج) ۸۰۰°C و (د) ۹۰۰°C به مدت ۱ ساعت.

شکل ۱۴-۴ تصویر میکروسکوپ الکترونی رویشی نمونه EtOH کلسینه شده در دمای 1000°C

به مدت ۱ ساعت.

شکل ۱۵-۴ نمودار تغییرات اندازه متوسط ذرات هگزافریت باریم بر حسب دمای کلسیناسیون

برای نمونه EtOH

شکل ۱۶-۴ نمودارهای آنالیز حرارتی (DTA/TGA) مربوط به پیش سازه PrOH

شکل ۱۷-۴ الگوهای پراش اشعه ایکس نمونه PrOH کلسینه شده در دماهای 600 ، 700 ، 800

و 900°C به مدت ۱ ساعت.

شکل ۱۸-۴ الگوهای پراش اشعه ایکس نمونه PrOH کلسینه شده در دماهای 400 و 500

به مدت ۱ ساعت.

شکل ۱۹-۴ تصاویر میکروسکوپ الکترونی رویشی نمونه PrOH کلسینه شده در دماهای:

(الف) 600°C ، (ب) 700°C ، (ج) 800°C و (د) 900°C به مدت ۱ ساعت.

شکل ۲۰-۴ تصاویر میکروسکوپ الکترونی رویشی نمونه PrOH کلسینه شده در دمای

1000°C به مدت ۱ ساعت در دو بزرگنمایی متفاوت.

شکل ۲۱-۴ نمودار تغییرات اندازه متوسط ذرات هگزافریت باریم بر حسب دمای کلسیناسیون

برای نمونه PrOH

شکل ۲۲-۴ تصویر میکروسکوپ الکترونی عبوری نمونه PrOH کلسینه شده در دمای 600°C

به مدت ۱ ساعت.

شکل ۲۳-۴ نمودارهای آنالیز حرارتی (DTA/TGA) مربوط به پیش سازه DEG11

شکل ۲۴-۴ الگوهای پراش اشعه ایکس نمونه DEG11 کلسینه شده در دماهای 700 ، 750 ، 800

و 900°C به مدت ۱ ساعت.

- ۱۰۸ شکل ۲۵-۴ الگوهای پراش اشعه ایکس نمونه DEG11 کلسینه شده در دماهای ۴۰۰، ۵۰۰ و ۶۵۰°C به مدت ۱ ساعت.
- ۱۱۰ شکل ۲۶-۴ تصاویر میکروسکوپ الکترونی روبشی نمونه DEG11 کلسینه شده در دماهای:
- (الف) ۷۰۰°C و (ب) ۷۵۰°C به مدت ۱ ساعت.
- ۱۱۰ شکل ۲۷-۴ نمودار تغییرات اندازه متوسط ذرات هگزافریت باریم بر حسب دمای کلسیناسیون برای نمونه DEG11
- ۱۱۱ شکل ۲۸-۴ نمودارهای آنالیز حرارتی (DTA/TGA) مربوط به پیش سازه DEG12
- ۱۱۴ شکل ۲۹-۴ الگوهای پراش اشعه ایکس نمونه DEG12 کلسینه شده در دماهای ۶۵۰، ۷۰۰، ۸۰۰ و ۹۰۰°C به مدت ۱ ساعت.
- ۱۱۷ شکل ۳۰-۴ الگوهای پراش اشعه ایکس نمونه DEG12 کلسینه شده در دماهای ۴۰۰، ۵۰۰ و ۶۰۰°C به مدت ۱ ساعت.
- ۱۲۰ شکل ۳۱-۴ تصاویر میکروسکوپ الکترونی روبشی نمونه DEG12 کلسینه شده در دماهای:
- (الف) ۶۵۰°C، (ب) ۷۰۰°C، (ج) ۷۵۰°C و (د) ۸۰۰°C به مدت ۱ ساعت.
- ۱۲۱ شکل ۳۲-۴ تصاویر میکروسکوپ الکترونی روبشی نمونه DEG12 کلسینه شده در دماهای:
- (الف) ۹۰۰°C و (ب) ۱۰۰۰°C به مدت ۱ ساعت.
- ۱۲۱ شکل ۳۳-۴ نمودار تغییرات اندازه متوسط ذرات هگزافریت باریم بر حسب دمای کلسیناسیون برای نمونه DEG12
- ۱۲۲ شکل ۳۴-۴ تصویر میکروسکوپ الکترونی عبوری نمونه DEG12 کلسینه شده در دمای ۷۰۰°C به مدت ۱ ساعت.

۱۲۳ شکل ۳۵-۴ تصویر میکروسکوپ الکترونی عبوری اگلومره ای از کریستالیت ها در نمونه

کلسینه شده در دمای 700°C به مدت ۱ ساعت.

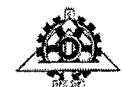
۱۲۴ شکل ۳۶-۴ الگوی پراش الکترونی نمونه DEG12 کلسینه شده در دمای 700°C به مدت ۱

ساعت.



فصل اول :

مقدمہ



سرامیک های مغناطیسی به سبب داشتن اکسیدهای بر پایه آهن در ترکیب خود، تحت عنوان فریت ها مشهور شده اند [۱]. هگزافریت ها نیز مواد مغناطیسی دائمی با ساختار کریستالی مگنتوپلumbیت^۱ و فرمول شیمیایی $(M: Ba, Sr, Pb)MO.6Fe_2O_3$ می باشند. در سال ۱۹۴۸، نیل^۲ تئوری فری مغناطیس را ارائه کرد و بدین ترتیب مشخص شد که $MO.6Fe_2O_3$ جزء مواد فری مغناطیس می باشد [۲].

ذرات هگزافریت باریم در دهه ۱۹۵۰ در نتیجه نظریه استونر- ولفارس^۳ که نشان داد نیروی وادراندگی مغناطیسی یک سیستم از ذرات تک حوزه ای مغناطیسی متناسب با ناهمسانگردی است، گسترش پیدا کردند. ذرات هگزاگونالی شکل هگزافریت باریم با نسبت قطر به ضخامت ۱:۱۰ دارای ناهمسانگردی قوی کریستالی بوده و در جهت عمود بر بعد نازک خود، مغناطیسیده می شوند [۳].

هگزافریت باریم به دلیل داشتن هزینه تولید کم، دمای کوری بالا، نیروی وادراندگی مغناطیسی بالا، سختی زیاد، پایداری شیمیایی و مقاومت به خوردگی دارای پتانسیل مناسبی برای کاربردهایی نظیر آهنرباهای دائمی، پوشش‌های جذب مایکروویو و محیط های ذخیره اطلاعات می باشد [۴].

در طی دهه گذشته تلاشهای متعددی برای بدست آوردن ذرات ریز هگزافریت باریم به دلیل کاربرد آن در محیط‌های ذخیره مغناطیسی عمودی اطلاعات، صورت پذیرفته است. از طرفی دیگر، ساخت قطعات بالک از هگزافریت باریم نیز نیاز به پودرهایی با خواص برجسته از نظر اندازه ذرات، مورفولوژی، خلوص و خواص مغناطیسی دارد. پودرهایی با اندازه ذرات کوچکتر رفتار زینترینگ مناسبتری داشته و می توانند در دماهای پایین تری زینتر شده و قطعات سرامیکی با دانسیته نزدیکتر به دانسیته تئوری تولید کنند. به هر حال، خواص ذرات پودر به وسیله روش سنتز تحت تأثیر قرار می گیرد. در این راستا

1-Magnetoplumbite

2-Neel

3-Stoner-Wohlfarth



روش های مرسوم و غیر مرسوم مختلفی از جمله هم رسوی، هیدرورترمال، شیشه- سرامیک، سل- ژل، روش های مکانیکی و غیره برای سنتز هگزافریت باریم مورد استفاده قرار گرفته است.

در تحقیق حاضر برای تهیه ذرات در حد نانومتر هگزافریت باریم، از روش جدید هم رسوی در محیط غیرآبی استفاده شده و سنتز این نانوذرات با استفاده از الکل های مختلف به جای آب مورد بررسی قرار گرفته و خواص محصولات با خواص بدست آمده از فرآیند متداول هم رسوی در محیط آبی مقایسه شده است.

پژوهش حاضر مشتمل بر پنج فصل می باشد. در فصل مروری بر منابع پس از مقدمه ای در مورد مغناطیس و تعریف های آن، به معرفی انواع مواد مغناطیسی و خواص نانوذرات مغناطیسی پرداخته می شود. سپس روش های مختلف سنتز هگزافریت باریم بیان شده و در ادامه خواص الکل ها و سابقه آنها در سنتز مواد مختلف مورد بررسی قرار می گیرد. در فصل سوم به معرفی مواد اولیه مصرفی جهت تهیه پودر هگزافریت باریم، شرایط سنتز و کلسینه کردن نمونه ها و تجهیزات مورد استفاده جهت تشخیص خواص پودرهای حاصله پرداخته می شود. در فصل چهارم نتایج حاصل از استفاده از محیط های مختلف هم رسوی بر روی استحالة های فازی و اندازه ذرات و کریستالیت های هگزافریت باریم مورد بحث قرار گرفته است. در فصل پنجم نیز به نتیجه گیری و پیشنهادهایی در مورد ادامه پژوهش پرداخته شده است.

فصل دوم:

مروّری بر منابع



در این فصل پس از مقدمه‌ای در مورد مغناطیس و تعریف پارامترهای آن، به معرفی خواص نانوذرات مغناطیسی پرداخته می‌شود و سپس روش‌های مختلف فرآوری هگزافریت باریم توضیح داده خواهد شد و در نهایت خواص الكل‌ها و همچنین سابقه و کاربرد آنها در سنتز مواد بررسی خواهد شد.

۲-۱- مقدمه‌ای بر مغناطیس

۲-۱-۱- مروری بر مفاهیم و پارامترهای مغناطیسی

الف) میدان مغناطیسی^۱

یکی از اساسی‌ترین مفاهیم در مغناطیس، میدان مغناطیسی (H) می‌باشد. این میدان می‌تواند به وسیله جریان الکتریکی و یا توسط یک آهنربا ایجاد شود. در مورد آهنرباهای دائمی، حرکت‌های اسپینی و اوربیتالی الکترونها در داخل آهنربا منجر به مغناطش ماده و ایجاد میدان مغناطیسی در اطراف آن می‌شود.

واحد میدان مغناطیسی در سیستم SI، آمپر بر متر (A/m) و در سیستم cgs اُرستد (Oe) می‌باشد [۵].

ب) القای مغناطیسی^۲

نتیجه اعمال میدان مغناطیسی باشدت (H)، القای مغناطیسی یا شار مغناطیسی (B) است. در سیستم SI واحد دانسیته شار، ویر بر متر مربع (Wb/m^2) می‌باشد که تسلا (T) نامیده می‌شود. در برخی موارد B تابع خطی از H بوده ولی در اغلب موارد، به ویژه در مواد فرومغناطیسی و فری‌مغناطیسی، B تابع خطی از H نیست و رابطه ۱-۲ بین این دو برقرار است:

$$B = \mu \cdot H \quad (1-2)$$

نمایندگی قابلیت نفوذپذیری مغناطیسی ماده بوده و لزوماً ثابت نیست [۵].

1- Magnetic Field
2- Magnetic Induction



ج) مغناطش^۱

مغناطش طبق تعریف، گشتاور مغناطیسی بر واحد حجم ماده بوده و توسط رابطه ۲-۲ بیان می‌شود:

$$M = \frac{m}{V} \quad (2-2)$$

که m گشتاور مغناطیسی و V حجم ماده است. رابطه بین مغناطش و میدان مغناطیسی به صورت

رابطه ۳-۳ تعریف می‌شود:

$$M = \chi H \quad (3-2)$$

χ پذیرفتاری مغناطیسی^۲ بوده و یک پارامتر بدون بعد است.

رابطه بین سه پارامتر اساسی مغناطیسی (M , H , B) در سیستم SI توسط رابطه ۴-۲ بیان می‌شود:

$$B = \mu_0 \cdot (H + M) \quad (4-2)$$

μ_0 نفوذپذیری مغناطیسی خلاً است. واحد B بر حسب تسلای بوده و H و M نیز بر حسب آمپر بر متر

می‌باشند [۵].

د) حلقه پسماند مغناطیسی^۳

در اثر اعمال میدان مغناطیسی H ، گشتاورهای مغناطیسی به سمت میدان جهت گیری کرده و یک

مغناطش کلی در نمونه ایجاد می‌شود؛ زمانی که همه گشتاورهای ماده در جهت میدان قرار گرفتند

مغناطش به نقطه اشباع M_s خواهد رسید (شکل ۱-۲). تا نقطه عطف مغناطش برگشت پذیر است؛ ولی

بعد از نقطه عطف وقتی میدان اعمالی خارج شود، ماده مغناطیسی می‌تواند مغناطش را به صورت M_r یا

مغناطش باقیمانده در خود نگه دارد و این مغناطش به وسیله اعمال یک میدان مساوی ولی مخالف بر

روی نمونه تا صفر کاهش می‌یابد. مقدار H در این نقطه نیروی وادارنده^۴ مغناطیسی (H_0) است و اگر

1- Magnetization

2- Susceptibility

3- Magnetic Hysteresis Loop